

# OP4 – Dispositif interférentiel par division du front d'onde

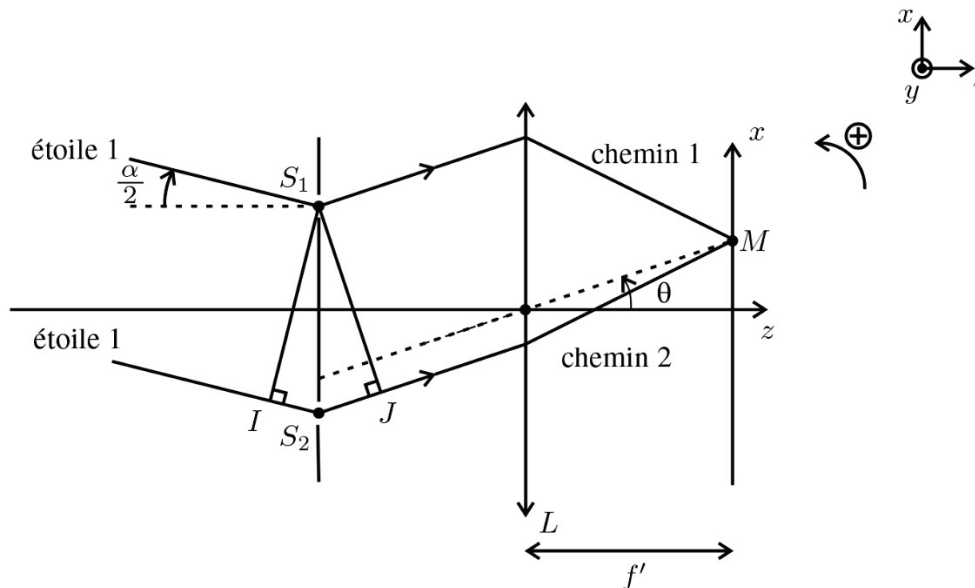
## A – Travaux dirigés

### OP41 – Etoiles à l'infini

1. Chaque étoile donne un système d'interférences par le dispositif des fentes d'Young. Comme l'étoile 1 est à l'infini, on peut considérer qu'au voisinage des fentes d'Young, on a une onde plane.  $S_1I$  est un plan d'onde, donc  $[objet_1 S_1] = [objet_1 I]$ . D'après le principe de retour inverse de la lumière,  $S_1J$  est aussi un plan d'onde (une lentille ne modifie pas la différence de marche) :

$$[S_1M] = [JM]$$

D'après l'énoncé,  $\alpha \ll 1$ . Comme on travaille dans les conditions de Gauss, alors  $\theta \ll 1$  et  $\tan \theta = \theta = \frac{x}{f'}$ .



Attention aux signes :  $\alpha < 0$  et  $\theta > 0$  sur la figure.

La différence de marche est :

$$\delta = IS_2 + S_2J = -a\frac{\alpha}{2} + a\frac{x}{f'}$$

puisque  $\tan\left(-\frac{\alpha}{2}\right) \approx -\frac{\alpha}{2} = \frac{IS_2}{S_1S_2} = \frac{IS_2}{a}$  et  $\tan(\theta) \approx \theta = \frac{S_2J}{S_1S_2} = \frac{S_2J}{a}$

L'éclairement au point M dû à l'étoile 1 est :

$$\varepsilon_1(M) = 2\varepsilon_0 \left( 1 + \cos\left(\frac{2\pi}{\lambda_0} \delta\right) \right)$$

Soit :

$$\varepsilon_1(M) = 2\varepsilon_0 \left( 1 + \cos\left(\frac{2\pi}{\lambda_0} \left(-a\frac{\alpha}{2} + a\frac{x}{f'}\right)\right) \right)$$

On en déduit directement l'éclairement dû à l'étoile 2 en remplaçant  $\alpha$  par  $-\alpha$  :

$$\varepsilon_2(M) = 2\varepsilon_0 \left( 1 + \cos\left(\frac{2\pi}{\lambda_0} \left(a\frac{\alpha}{2} + a\frac{x}{f'}\right)\right) \right)$$

2. Les objets sont incohérents. On fait donc la somme des éclairagements :

$$\varepsilon(M) = \varepsilon_1(M) + \varepsilon_2(M)$$

L'éclairement total est :

$$\varepsilon(M) = 2\varepsilon_0 \left( 2 + \cos \left( \frac{2\pi}{\lambda_0} \left( -a \frac{\alpha}{2} + a \frac{x}{f'} \right) \right) + \cos \left( \frac{2\pi}{\lambda_0} \left( a \frac{\alpha}{2} + a \frac{x}{f'} \right) \right) \right)$$

On utilise les formules de trigonométrie :

$$\cos p + \cos q = 2 \cos \frac{p+q}{2} \cos \frac{p-q}{2}$$

On a alors :

$$\varepsilon(M) = 2\varepsilon_0 \left( 2 + 2 \cos \left( \frac{2\pi}{\lambda_0} a \frac{x}{f'} \right) \cos \left( \frac{2\pi}{\lambda_0} a \frac{\alpha}{2} \right) \right)$$

Soit :

$$\varepsilon(M) = 4\varepsilon_0 \left( 1 + \cos \left( \frac{\pi a \alpha}{\lambda_0} \right) \cos \left( \frac{2\pi}{\lambda_0} a \frac{x}{f'} \right) \right)$$

On pose :

$$\Gamma = \cos \left( \frac{\pi a \alpha}{\lambda_0} \right)$$

L'éclairement s'écrit :

$$\varepsilon(M) = 4\varepsilon_0 \left( 1 + \Gamma \cos \left( \frac{2\pi}{\lambda_0} a \frac{x}{f'} \right) \right)$$

Le contraste est par définition :

$$C = \frac{\varepsilon_{\max} - \varepsilon_{\min}}{\varepsilon_{\max} + \varepsilon_{\min}}$$

Lorsque  $x$  varie, le terme  $\Gamma = \cos \left( \frac{\pi a \alpha}{\lambda_0} \right)$  est constant alors que le terme

$\cos \left( \frac{2\pi}{\lambda_0} a \frac{x}{f'} \right)$  varie de  $-1$  à  $1$ . On peut donc en déduire les valeurs minimales et maximales de l'éclairement :

$$\varepsilon_{\max} = 4\varepsilon_0 (1 + |\Gamma|) \quad \text{et} \quad \varepsilon_{\min} = 4\varepsilon_0 (1 - |\Gamma|).$$

D'où :

$$C = \frac{\varepsilon_{\max} - \varepsilon_{\min}}{\varepsilon_{\max} + \varepsilon_{\min}} = \frac{4\varepsilon_0 (1 + |\Gamma|) - 4\varepsilon_0 (1 - |\Gamma|)}{4\varepsilon_0 (1 + |\Gamma|) + 4\varepsilon_0 (1 - |\Gamma|)} = |\Gamma|$$

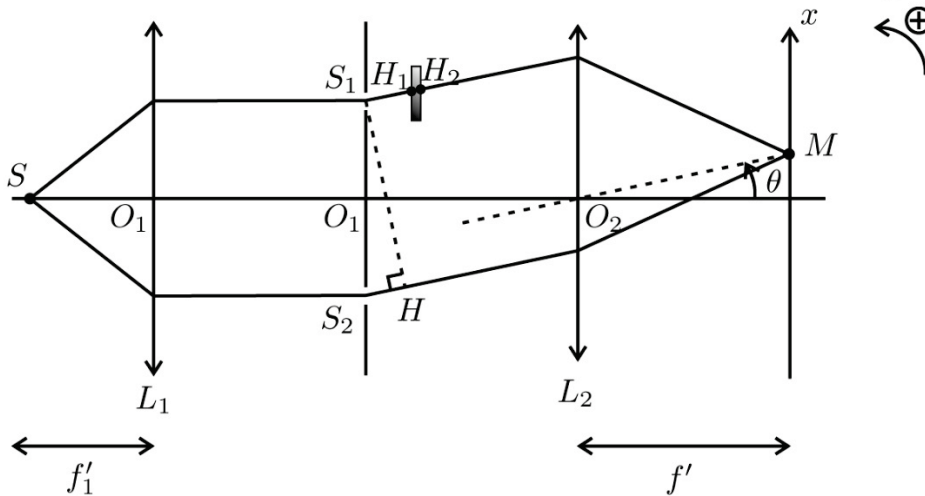
On a un brouillage si  $C = 0$ , soit  $\frac{\pi a \alpha}{\lambda_0} = \frac{\pi}{2} + k\pi$ . On a alors :

$$a = \frac{\lambda_0}{2\alpha} + k \frac{\lambda_0}{\alpha}$$

avec  $k$  entier.

# OP42 – Fentes d'Young et lame

1. On travaille dans les conditions de Gauss :  $\sin \theta \approx \theta \approx \tan \theta = \frac{x}{f'}$ .



### Sans la lame :

D'après le théorème de Malus,  $S_1 S_2$  est un plan d'onde, donc  $[SS_1] = [SS_2]$ .  
 D'après le principe de retour inverse de la lumière et le théorème de Malus,  $S_1 H$  serait un plan d'onde. On a donc :  $[S_1 M] = [HM]$ .  
 La différence de marche entre  $SS_2 M$  et  $SS_1 M$  est :

$$\delta = [SS_2 M] - [SS_1 M] = S_2 H = a \sin \theta = a \theta$$

L'ordre d'interférences au point  $M$  est :  $p = \frac{\delta}{\lambda_0} = \frac{ax}{\lambda_0 f'}$

La frange centrale est obtenue pour  $p = 0$ , soit  $x = 0$ .  
 L'interfrange est donné par la formule :  $p(x + i) = p(x) + 1$ .

On a alors :  $\frac{a(x + i)}{\lambda_0 f'} = \frac{ax}{\lambda_0 f'} + 1$ .

On observe des franges rectilignes parallèles à  $\vec{u}_y$  d'interfrange :

$$i = \frac{\lambda_0 f'}{a} = 0,6 \text{ mm}$$

### 2. Avec la lame :

La nouvelle différence de marche est :  $\delta' = \frac{ax}{f'} - (n - 1) e$

puisqu'on enlève le chemin optique dans l'air que l'on remplace par celui dans la lame. On néglige l'inclinaison dans la lame puisqu'on travaille dans les conditions de Gauss avec  $\theta \ll 1$ .

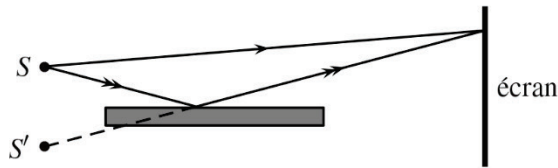
Le nouvel ordre d'interférences est :  $p' = \frac{\delta'}{\lambda_0} = \frac{ax}{\lambda_0 f'} - \frac{(n - 1) e}{\lambda_0}$

La frange centrale est obtenue pour  $p' = 0$ , soit :  $x = \frac{(n - 1) e f'}{a} = 5,0 \text{ mm}$

La frange centrale s'est donc déplacée vers le haut de 5,0 mm.  
 L'interfrange n'est pas modifié et vaut toujours 0,60 mm.

## OP43 – Miroirs de Lloyd

1. Les deux sources qui interfèrent sont la source  $S$  elle-même et la source  $S'$  image de  $S$  par le miroir (elles sont représentées sur la figure suivante). Ce sont deux sources ponctuelles, de même pulsation, mais aussi synchrones : elles sont donc cohérentes.
2. La marche des deux rayons lumineux qui parviennent en  $M$  sur l'écran est représentée sur la figure suivante.



On constate que ce sont bien deux rayons distincts issus de  $S$  qui donnent les deux rayons qui parviennent en  $M$  : le dispositif fonctionne bien par division du front d'onde.

3. Le champ d'interférences est limité au recouvrement des faisceaux lumineux issus de la source  $S$  et du faisceau lumineux réfléchi. Celui-ci est limité par les deux rayons, issus de  $S'$ , et qui s'appuient sur les bords du miroir. Le dispositif à division du front d'ondes étudié ici est éclairé par une source ponctuelle : les interférences ne sont pas localisées.

4. Les deux sources sont distantes de  $a$  et la distance entre les deux sources et l'écran est  $d + \ell$ . On en déduit les expressions demandées sans oublier le retard de phase égal à  $\pi$ , associé à la réflexion sur le miroir. L'abscisse  $x = 0$  doit être positionnée sur l'axe médiateur des deux sources  $S$  et  $S'$ .

- $p(M) = \frac{na x}{\lambda_0(d + \ell)} + \frac{1}{2}$  ;
- $\delta(M) = \frac{na x}{d + \ell} + \frac{\lambda_0}{2}$  ;
- $\Delta\varphi(M) = \frac{2\pi na x}{\lambda_0(d + \ell)} + \pi$ .

5. L'éclairement au point  $M$  d'abscisse  $x$  est :  $\mathcal{E}(x) = 2\mathcal{E}_0 \left( 1 - \cos \left( \frac{2\pi na x}{\lambda_0(d + \ell)} \right) \right)$ . L'éclairement ne dépend que de  $x$  : les franges sont donc rectilignes. Dans le cours, nous avons vu, dans le cas analogue des trous d'Young, qu'il était possible d'étendre la source dans une direction orthogonale à l'axe des deux sources sans que le contraste de la figure d'interférences ne soit affecté.

6. Si l'on rapproche la source  $S$  du miroir d'une distance  $b/2$ , alors la source  $S'$  se rapproche aussi de la même distance  $b/2$ . Par suite, la distance entre  $S$  et  $S'$  devient  $a - b$  et l'ordre d'interférences au point  $M$  s'écrit alors (l'axe médiateur de  $S$  et  $S'$  n'est pas modifié, donc l'origine  $x = 0$  reste la même) :

$$p'(M) = \frac{n(a - b)x}{\lambda_0(d + \ell)} + \frac{1}{2}.$$

La variation de l'ordre d'interférences au point  $M$  est :  $\Delta p(M) = p'(M) - p(M) = -\frac{nbx}{\lambda_0(d + \ell)}$ .

Considérons maintenant une source élargie de largeur totale  $b$ . La calcul que nous venons de faire correspond à l'évaluation de la variation de l'ordre d'interférences lorsqu'on considère une source ponctuelle au centre de la source étendue puis sur son bord. On obtient donc :

$|\Delta p(M)| = \frac{nb|x|}{\lambda_0(d + \ell)}$ . Les franges restent visibles en  $M$  à condition que  $|\Delta p(M)| \leq 1/2$ , soit pour :

$$\frac{nb|x|}{\lambda_0(d + \ell)} \leq \frac{1}{2} \quad \Rightarrow \quad |x| \leq \frac{\lambda_0(d + \ell)}{2nb}.$$

L'interfrange se lit dans l'expression de l'éclairement en l'écrivant sous la forme :  $\mathcal{E}(x) = 2\mathcal{E}_0 \left( 1 - \cos \left( \frac{2\pi x}{i} \right) \right)$ . On obtient :  $i = \frac{\lambda_0(d + \ell)}{na}$ . On en déduit finalement que les franges restent bien visibles pour  $x$  vérifiant la condition suivante :

$$|x| \leq i \frac{a}{2b}.$$

## OP44 – Trois trous d'Young

1°) Les trois ondes qui interfèrent en M sont issues d'une même source ponctuelle qui émet une radiation supposée parfaitement monochromatique. Elles sont donc cohérentes.

2°) On retrouve le même calcul que pour les trous d'Young d'où :

$$\begin{cases} \delta_{12} = -\frac{ax}{f'} \Rightarrow \varphi_{12} = -\frac{2\pi ax}{\lambda f'} = -\varphi \\ \delta_{32} = \frac{ax}{f'} \Rightarrow \varphi_{32} = \frac{2\pi ax}{\lambda f'} = \varphi \end{cases}$$

3°) a)

$$\text{Soit : } \underline{s} = (a_1 e^{j(\omega t - \varphi_1(M))} + a_2 e^{j(\omega t - \varphi_2(M))})$$

$$\Rightarrow I(M) = \frac{1}{2} K (a_1 e^{j(\omega t - \varphi_1(M))} + a_2 e^{j(\omega t - \varphi_2(M))}) (a_1 e^{-j(\omega t - \varphi_1(M))} + a_2 e^{-j(\omega t - \varphi_2(M))})$$

$$\Rightarrow I(M) = \frac{1}{2} K a_1^2 + \frac{1}{2} K a_2^2 + K a_1 a_2 (e^{j(\varphi_2(M) - \varphi_1(M))} + e^{-j(\varphi_2(M) - \varphi_1(M))})$$

$$\Rightarrow I(M) = \frac{1}{2} K a_1^2 + \frac{1}{2} K a_2^2 + 2K a_1 a_2 \cos(\varphi_2(M) - \varphi_1(M))$$

$$\Rightarrow I(M) = I_1 + I_2 + 2\sqrt{I_1 I_2} \cos(\Delta\varphi)$$

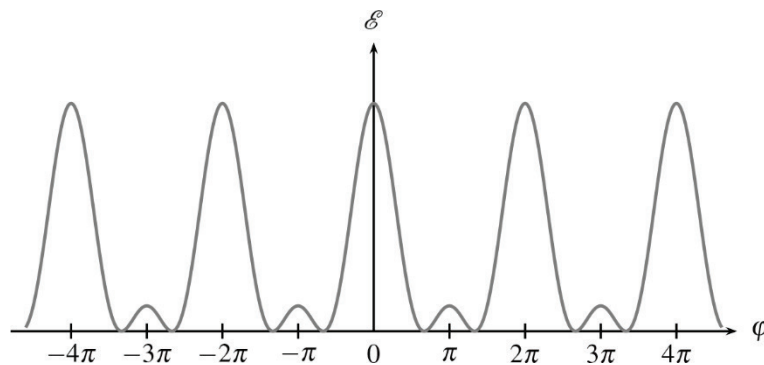
3°) b) On a :

$$\underline{s}_3 = \underline{s}_2 e^{j\varphi} \text{ et } \underline{s}_1 = \underline{s}_2 e^{-j\varphi}$$

$$\Rightarrow \underline{s} = \underline{s}_2 (1 + e^{j\varphi} + e^{-j\varphi})$$

$$\Rightarrow \underline{s} = \underline{s}_2 (1 + 2 \cos(\varphi))$$

$$\Rightarrow I = I_2 (1 + 2 \cos(\varphi))^2$$



## B – Exercices supplémentaires

### OP45 – Trous d'Young et largeur de source

**1.** C'est un dispositif à division du front d'onde puisque les deux ondes proviennent de rayons lumineux différents issus de la source  $S$  avec une division géométrique.

**2. Amplitude complexe de l'onde 1 :**

Au point  $M$ , la vibration de l'onde 1 est :  $s_1 = A_1 \cos(\omega t - \phi_1)$ .

La vibration complexe est :  $\underline{s}_1 = A_1 \exp(-i(\omega t - \phi_1))$ .

L'amplitude complexe est :  $\underline{a}_1 = A_1 \exp(i\phi_1)$ .

### Amplitude complexe de l'onde 2 :

Au point  $M$ , la vibration de l'onde 2 est :  $s_2 = A_2 \cos(\omega t - \phi_2)$ .

L'amplitude complexe est :  $\underline{a}_2 = A_2 \exp(i\phi_2)$ .

### Amplitude totale :

Pour des ondes cohérentes, on fait la somme des amplitudes complexes :

$$\underline{a} = \underline{a}_1 + \underline{a}_2 = A_1 \exp(i\phi_1) + A_2 \exp(i\phi_2)$$

L'éclairement est :  $\varepsilon = K \underline{a} \underline{a}^*$

$$= K (A_1 \exp(i\phi_1) + A_2 \exp(i\phi_2)) (A_1 \exp(-i\phi_1) + A_2 \exp(-i\phi_2))$$

On a alors :

$$\varepsilon = K (A_1^2 + A_2^2 + A_1 A_2 \exp(i(\phi_2 - \phi_1)) + A_1 A_2 \exp(-i(\phi_2 - \phi_1)))$$

On pose  $\Delta\phi = \phi_2 - \phi_1$ , soit :  $\varepsilon = K A_1^2 + K A_2^2 + 2K A_1 A_2 \cos(\Delta\phi)$

Finalement, on obtient :

$$\varepsilon = \varepsilon_1 + \varepsilon_2 + 2\sqrt{\varepsilon_1}\sqrt{\varepsilon_2} \cos(\Delta\phi)$$

Dans le cas particulier très fréquent où les deux ondes ont le même éclairement  $\varepsilon_0$ , on a :  $\varepsilon(M) = 2\varepsilon_0 (1 + \cos(\Delta\phi(M)))$

3. La différence de marche est :

$$\begin{aligned} \delta(M) &= [SS_2M] - [SS_1M] = n_{\text{air}} ((SS_2M) - (SS_1M)) \\ &= (SS_2M) - (SS_1M) \end{aligned}$$

puisque l'indice de l'air vaut 1.

Comme  $SS_1 = SS_2$ , alors  $\delta(M) = S_2M - S_1M$

$$S_1 \begin{vmatrix} \frac{a}{2} \\ 0 \\ -D \end{vmatrix} ; S_2 \begin{vmatrix} -\frac{a}{2} \\ 0 \\ -D \end{vmatrix} ; M \begin{vmatrix} x \\ y \\ 0 \end{vmatrix}$$

On a donc :  $S_1M = \sqrt{\left(x - \frac{a}{2}\right)^2 + y^2 + D^2} = D \sqrt{1 + \frac{\left(x - \frac{a}{2}\right)^2}{D^2} + \frac{y^2}{D^2}}$ .

On fait un développement limité à l'ordre 1 :

$$S_1M \simeq D \left( 1 + \frac{\left(x - \frac{a}{2}\right)^2}{2D^2} + \frac{y^2}{2D^2} \right)$$

De même, on obtient :

$$S_2M = D\sqrt{1 + \frac{(x + \frac{a}{2})^2}{D^2} + \frac{y^2}{D^2}} = D\left(1 + \frac{(x + \frac{a}{2})^2}{2D^2} + \frac{y^2}{2D^2}\right).$$

La différence de marche est :

$$\delta(M) = \left( D\left(1 + \frac{(x + \frac{a}{2})^2}{2D^2} + \frac{y^2}{2D^2}\right) - D\left(1 + \frac{(x - \frac{a}{2})^2}{2D^2} + \frac{y^2}{2D^2}\right) \right)$$

Soit :

$$\delta(M) = D\left(\frac{x^2 + \frac{a^2}{4} + ax}{2D^2}\right) - D\left(\frac{x^2 + \frac{a^2}{4} - ax}{2D^2}\right) = \frac{ax}{D}$$

L'ordre d'interférences est :

$$p = \frac{\delta(M)}{\lambda_0} = \frac{ax}{\lambda_0 D}$$

La formule de Fresnel s'écrit :

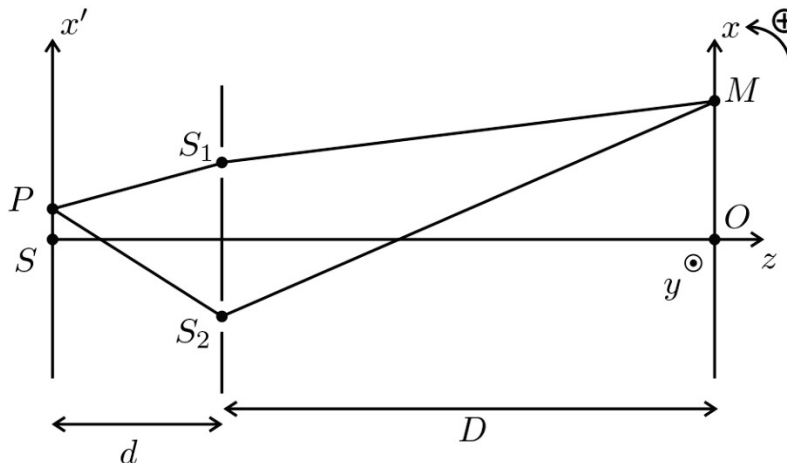
$$\varepsilon(M) = 2\varepsilon_0\left(1 + \cos(2\pi p)\right)$$

On a donc des franges rectilignes perpendiculaires à  $Ox$  car à  $p$  fixé,  $x$  est fixé.

Pour calculer l'interfrange, on utilise la relation :  $p(x+i) = p(x) + 1$ .

On a donc :  $\frac{a(x+i)}{\lambda_0 D} = \frac{ax}{\lambda_0 D} + 1$ , ce qui donne :  $i = \frac{\lambda_0 D}{a}$

4.





La différence de marche entre les deux rayons lumineux est :

$$\begin{aligned}\delta &= [PS_2M] - [PS_1M] = (PS_2M) - (PS_1M) \\ &= \{PS_2 - PS_1\} + \{S_2M - S_1M\}\end{aligned}$$

On a vu dans la question précédente que :  $S_2M - S_1M \approx \frac{ax}{D}$ .

De même, on a :  $PS_2 - PS_1 = \frac{ax'}{d}$ .

La différence de marche vaut donc :

$$\delta = \frac{ax}{D} + \frac{ax'}{d}$$

La fente source a une largeur  $b$ . Il faut considérer un élément de longueur  $dx'$  autour de  $P$ . La contribution de l'éclairement dû à  $dx'$  au point  $M$  est :

$$d\varepsilon(M) = 2A_0 dx' \left( 1 + \cos \left( \frac{2\pi}{\lambda_0} \delta \right) \right)$$

Il reste à intégrer  $x'$  entre  $-\frac{b}{2}$  et  $\frac{b}{2}$  pour calculer l'éclairement total au point  $M$ .

On a donc :

$$\varepsilon(M) = \int_{x_F - \frac{b}{2}}^{x_F + \frac{b}{2}} 2A_0 dx' \left( 1 + \cos \left( \frac{2\pi}{\lambda_0} \left( \frac{ax}{D} + \frac{ax'}{d} \right) \right) \right)$$

Soit :

$$\varepsilon(M) = 2A_0 b + \left[ \frac{2A_0 \sin \left( \frac{2\pi}{\lambda_0} \left( \frac{ax}{D} + \frac{ax'}{d} \right) \right)}{\frac{2\pi a}{\lambda_0 d}} \right]_{-\frac{b}{2}}^{\frac{b}{2}}$$

D'où :

$$\varepsilon(M) = 2A_0 b + \frac{A_0 \lambda_0 d}{\pi a} \left[ \sin \left( \frac{2\pi}{\lambda_0} \left( \frac{ax}{D} + \frac{a \left( \frac{b}{2} \right)}{d} \right) \right) - \sin \left( \frac{2\pi}{\lambda_0} \left( \frac{ax}{D} + \frac{a \left( -\frac{b}{2} \right)}{d} \right) \right) \right]$$

Or  $\sin p - \sin q = 2 \sin \left( \frac{p - q}{2} \right) \cos \left( \frac{p + q}{2} \right)$ , d'où :

$$\varepsilon(M) = 2A_0b + \frac{A_0\lambda_0d}{\pi a} 2 \sin\left(\frac{\pi ab}{\lambda_0d}\right) \cos\left(\frac{2\pi}{\lambda_0} \left(\frac{ax}{D}\right)\right)$$

On pose  $\Gamma = \text{sinc}\left(\frac{\pi ab}{\lambda_0d}\right) = \frac{\sin\left(\frac{\pi ab}{\lambda_0d}\right)}{\frac{\pi ab}{\lambda_0d}}$

L'éclairement s'écrit sous la forme :

$$\varepsilon(M) = 2A_0b \left(1 + \Gamma \cos\left(\frac{2\pi}{\lambda_0} \left(\frac{ax}{D}\right)\right)\right)$$

Si  $b$  est très petit, la fonction sinus-cardinal vaut 1. On retrouve la formule classique des interférences de la question 1.

Si on fait varier  $x$ , le terme dans le cosinus est un terme variable alors que le terme dans le sinus cardinal est un terme constant.

Le contraste de la figure d'interférences est défini par :

$$C = \frac{\varepsilon_{\max} - \varepsilon_{\min}}{\varepsilon_{\max} + \varepsilon_{\min}}$$

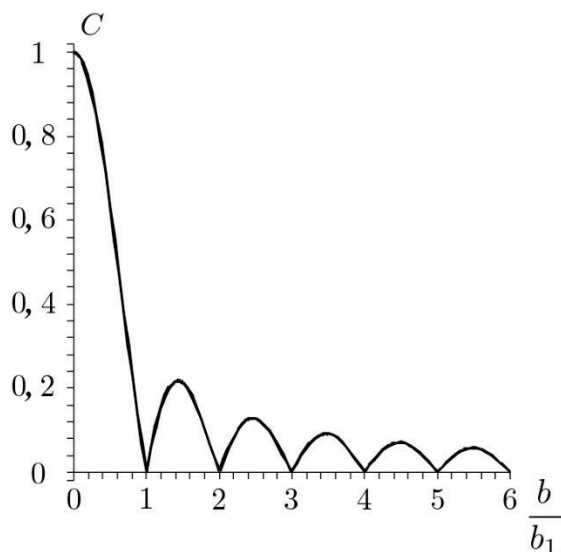
Lorsque  $x$  varie, on a :  $\varepsilon_{\max} = 2A_0b(1 + |\Gamma|)$  et  $\varepsilon_{\min} = 2A_0b(1 - |\Gamma|)$

D'où : 
$$C = \frac{(1 + |\Gamma|) - (1 - |\Gamma|)}{(1 + |\Gamma|) + (1 - |\Gamma|)} = |\Gamma| = \left| \text{sinc}\left(\frac{\pi ab}{\lambda_0d}\right) \right|$$

Quand le contraste diminue, on a des franges de moins en moins contrastées. Pour  $C = 0$ , on ne peut plus faire la différence entre les franges brillantes et les franges sombres.

Le contraste est nul pour  $\left| \text{sinc}\left(\frac{\pi ab}{\lambda_0d}\right) \right| = 0$ , soit  $\frac{\pi ab}{\lambda_0d} = n\pi$  avec  $n$  entier.

Le premier brouillage a lieu pour pour  $n = 1$ , soit  $b_1 = \frac{\lambda_0d}{a}$ . Les autres ont lieu pour  $b_n = nb_1$ .



## OP46 – Frange achromatique

1. Il s'agit de l'expérience des fentes de Young avec source ponctuelle à l'infini et écran à l'infini (montage de Fraunhofer). La construction des rayons et le calcul de la différence de marche se font comme dans le cours. La différence de marche au point  $M$  de l'écran d'abscisse  $x = \overline{F'M}$  est :

$$\delta(x) = (SF_2M) - (SF_1M) = \frac{n_{\text{air}}ax}{f'},$$

et l'éclairement :

$$\mathcal{E}(x) = 2\mathcal{E}_0 \left( 1 + \cos \left( \frac{2\pi n_{\text{air}}ax}{\lambda_0 f'} \right) \right),$$

où  $\mathcal{E}_0$  est l'éclairement uniforme obtenu lorsqu'on obstrue l'une des fentes. L'interfrange est :

$$i = \frac{\lambda_0 f'}{n_{\text{air}}a} = 0,3 \text{ mm.}$$

2. La lame donne au rayon qui la traverse un supplément de chemin optique valant  $(n - n_{\text{air}})e$ .

La différence de marche devient :  $\delta'(x) = \frac{n_{\text{air}}ax}{f'} + (n - n_{\text{air}})e$ . La frange centrale se trouve à

présent en :  $x'_0 = \frac{(n_{\text{air}} - n)ef'}{n_{\text{air}}a}$ .

Le déplacement du système de franges correspond à un nombre de fois l'interfrange égal à :

$$\frac{x'_0}{i} = \frac{(n_{\text{air}} - n)e}{\lambda_0} = -8,3.$$

3. À partir de  $\Delta\varphi(x, \lambda) = \frac{2\pi\delta(x)}{\lambda_0} = \frac{2\pi n_{\text{air}}ax}{\lambda_0 f'} + \frac{2\pi(n - n_{\text{air}})e}{\lambda_0}$ , on obtient :

$$\frac{\partial\Delta\varphi}{\partial\lambda_0} = -\frac{2\pi e}{\lambda_0^2} \left( n - n_{\text{air}} + \frac{2B}{\lambda_{0m}^2} \right) - \frac{2\pi n_{\text{air}}ax}{\lambda_0^2 f'}.$$

La frange achromatique est donc située en :  $x''_0 = \left( n_{\text{air}} - n - \frac{2B}{\lambda_{0m}^2} \right) \frac{ef'}{n_{\text{air}}a}$ .

On a :  $\frac{x''_0 - x'_0}{i} = -\frac{2Be}{\lambda_{0m}^3} = -0,37$ .

4. On mesure  $x''_0$ . Supposer que l'indice de la lame est constant revient à interpréter le résultat comme si c'était  $x'_0$ . L'erreur relative sur la détermination de  $e$  qui en découle est  $\frac{x''_0 - x'_0}{x'_0} =$

$$-\frac{2B}{(n_{\text{air}} - n)\lambda_{0m}^2} = -4,4\%.$$

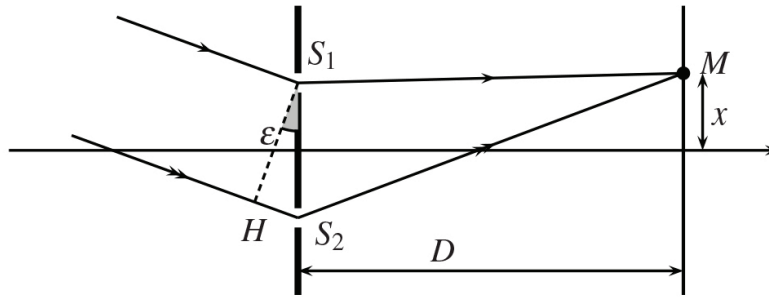
5. Pour qu'on puisse trouver la frange centrale dans le champ d'interférence, il faut que la différence de marche supplémentaire apporté par la lame reste inférieure à  $10 \mu\text{m}$  c'est à dire

que :  $e < e_{\text{max}} = \frac{\delta_{\text{max}}}{(n - n_{\text{air}})} = 20 \mu\text{m}$ .

Si l'on prend une lame de 1 mm d'épaisseur, la différence de marche dans le champ d'interférence est comprise entre  $(n - n_{\text{air}})e - \delta_{\text{max}} = 490 \mu\text{m}$  et  $(n - n_{\text{air}})e + \delta_{\text{max}} = 510 \mu\text{m}$ ; elle est donc nettement supérieure à la longueur de cohérence de la lumière blanche. Dans ce cas, les franges disparaissent lorsqu'on introduit la lame. On observe un blanc d'ordre supérieur.

## OP47 – Méthode de Michelson et Pease

1. Pour évaluer la différence de marche en  $M$ , on se rapporte au schéma suivant :



Le plan passant par les points  $S_1$  et  $H$  et orthogonal aux rayons incidents est un plan d'onde relatif à la source  $S'$ . On en déduit que :  $(S'S_1) = (S'H)$ . Par conséquent la différence de marche en  $M$  s'écrit :

$$\delta(M) = (S'S_2M) - (S'S_1M) = (HS_2) + (S_2M) - (S_1M).$$

Sur la figure, on lit que  $(HS_2) = na\varepsilon$ . La différence de marche  $(S_2M) - (S_1M)$  est celle qui a été vue dans le cours, et vaut  $\frac{na\varepsilon}{D}$ . L'ordre d'interférences au point  $M$  s'en déduit :

$$p(M) = \frac{na\varepsilon}{\lambda_0} + \frac{na\varepsilon}{\lambda_0 D}.$$

2. a. Les deux sources  $S'$  et  $S''$  sont deux sources distinctes, incohérentes. Chacune produit sur l'écran son propre système de franges d'interférences. La visibilité des franges s'annule lorsque, par exemple, la source  $S'$  produit au point  $M$  une frange brillante, alors que la source  $S''$  produit au point  $M$  une frange sombre. Cela se traduit ainsi :

$$p = \frac{na\varepsilon}{\lambda_0} + \frac{na\varepsilon}{\lambda_0 D} \quad \text{et} \quad q + \frac{1}{2} = -\frac{na\varepsilon}{\lambda_0} + \frac{na\varepsilon}{\lambda_0 D},$$

où  $p$  et  $q$  sont deux entiers. On précise que l'ordre d'interférences en  $M$  associé à la source  $S''$  se déduit de celui associé à  $S'$  en changeant  $\varepsilon$  en  $-\varepsilon$ . On obtient ensuite, en posant  $m = p - q$  ( $m$  entier), par différence :

$$m - \frac{1}{2} = \frac{2na\varepsilon}{\lambda_0}.$$

Les valeurs de  $a$  qui correspondent à l'annulation de la visibilité s'en déduisent :

$$a_m = m \frac{\lambda_0}{2n\varepsilon} - \frac{\lambda_0}{4n\varepsilon},$$

avec  $m \in \mathbb{N}^*$  car  $a_m < 0$  n'a pas de sens.

b. La plus petite valeur positive de  $a$  est obtenue pour  $m = 1$ . On obtient :  $\varepsilon = \frac{\lambda_0}{4a}$  (avec  $n = 1$ ).

L'application numérique donne :  $\varepsilon = 1,3 \times 10^{-7}$  rad. Cette méthode permet de mesurer des angles très faibles.